

齒舌蘭輪斑病毒台灣系統基因序列譯讀與分析

王惠亮^{1,3} 王志農¹ 張清安²

1 高雄市 國立高雄師範大學 生物科學研究所

2 台中縣 行政院農業委員會 農業試驗所植病組

3 聯絡作者：電子郵件hlwang@nknucc.nknu.edu.tw，傳真+886-7-7169030

接受日期：中華民國 93 年 4 月 25 日

摘要

王惠亮、王志農、張清安. 2004. 齒舌蘭輪斑病毒台灣系統基因序列譯讀與分析. 植病會刊13: 97-106.

齒舌蘭輪斑病毒(*Odontoglossum ringspot virus*, ORSV)，是感染蘭科植物最重要的病毒之一，在分類上屬於菸草嵌紋病毒屬(genus *Tobamovirus*)，是一種長桿狀顆粒病毒，其顆粒大小約為長度300 nm，寬度18 nm，顆粒中軸可清楚分辨有溝狀構造。在地理的分佈上遍佈溫帶及熱帶地區的非洲、亞洲、澳洲、歐洲、北美及南美洲。本研究完成選殖與譯讀齒舌蘭輪斑病毒台灣系統(ORSV-TW)的全長度核苷酸和胺基酸序列，並與已報告之 ORSV-S1(新加坡)、ORSV-Cy1(日本)、ORSV-Cy(韓國)及 ORSV-U(美國)等四個系統作全長度核苷酸和胺基酸序列進行比對與分析。ORSV-TW 全長度核苷酸序列为 6612 個核苷酸(accession number : AY571290)，其中 126/183 kDa RNA-dependent RNA polymerase (RdRp) 基因共 3336/4839 個核苷酸，可分別轉譯成 1112 個胺基酸，分子量為 126 kDa 之 replicase protein 和 1612 個胺基酸，分子量為 183 kDa 之 readthrough protein、movement protein (MP) 基因共 912 個核苷酸，可轉譯成 303 個胺基酸，分子量為 33 kDa、coat protein 基因 (CP) 共 477 個核苷酸，可轉譯成 158 個胺基酸，分子量為 18 kDa、5' 端非轉譯區 63 個核苷酸和 3' 端非轉譯區 414 個核苷酸。經與國外報告 ORSV 核苷酸序列相同度及胺基酸序列相似度比對結果顯示，五個系統間各基因的比較結果都達到 96 % 以上，顯示五者具高同源性，種內的遺傳歧異度相當低，為同種病毒之不同系統。

關鍵詞：齒舌蘭輪斑病毒、開放轉譯架構、核苷酸序列

緒言

蘭花屬於蘭科植物(Orchidaceae)是國內重要的觀賞花卉之一。其種類繁多，估計有 800-900 屬 25,000 種以上，是植物界中僅次豆科及菊科的大家族。全世界發現之蘭花病毒記載至少有 25 種，國內已發現的有喜姆比蘭嵌紋病毒(*Cymbidium mosaic virus*; CymMV)、齒舌蘭輪斑病毒(*Odontoglossum ringspot virus*; ORSV)、胡瓜嵌紋病毒(*Cucumber mosaic virus*; CMV)以及一種未定名的槍彈形病毒(*Rhabdovirus*)等 4 種，在這 4 種之中，為害最普遍的屬 CymMV 和 ORSV 兩種。ORSV 被公認為最困擾蘭花栽培之病毒之一，其性質較 CyMV 更為穩定頑劣，因此防治上之困難度也較高。蘭花組織培養程序中受 ORSV 污染之情況也較 CyMV 嚴重，因此隨蘭花種苗傳播之情況極為普遍，國際間此病毒相互交流之機會亦高⁽⁴⁾。ORSV 最早是由 Jensen & Gold⁽¹¹⁾1951 年在美國 *Odontoglossum grande* 上

所發現，病徵是輪斑(ringspot)，班紋(mottle)，嵌紋(mosaic)，花色條斑(color breaking)，黃化條紋(chlorotic streak)，甚至壞疽型(necrosis)病徵均有記錄^(4, 17)。據以前文獻認為 ORSV 應為煙草嵌紋病毒(*Tobacco mosaic virus*, TMV)之蘭花系統(TMV-O)，但也有相當多之學者證實 ORSV 為獨立之 tobamovirus 而非屬於 TMV 之一個系統^(7, 11, 17)。最近日本學者 Isomura 等更提出核酸序列分析之證據，支持 ORSV 乃異於 TMV 之獨立病毒⁽⁹⁾。目前學界普遍認 ORSV 應是發生於蘭花上最普遍之 tobamovirus 病毒^(4, 9)。

ORSV 是煙草嵌紋病毒屬(*Tobamovirus*)之一員，病毒形態為直硬桿狀顆粒，長度 300 nm，寬度 18 nm，顆粒中軸可清楚分辨有溝狀構造。齒舌蘭輪斑病毒的基因體長約為 6.6 kb，為單鏈正股(ssRNA) RNA 病毒。它的第一個開放轉譯架構(ORF 1)長約 4.9 kb，可分別轉譯出兩個分子量約為 126 kDa/183 kDa 的蛋白質分子。活性分析推測定

這個病毒蛋白質至少含三個功能性區間，蛋白質的 N 端區域具有 guanyltransferase 與 methyltransferase 活性(這兩個酵素活性與 mRNA 的 capping 有關)，中間區域具有 nucleoside triphosphatase 與 RNA 5'-triphosphatase 活性和解螺旋酶素(helicase)具有將纏繞之雙股核酸(或形成二級結構之單股核酸)解開來的活性，在諸多生理流程中，如核酸的複製、重組、基因之轉錄、與轉譯等，核酸解螺旋酶素活性皆扮演重要的角色，一般相信 RNA 病毒在進行基因體複製的過程，亦需要 RNA 解螺旋酶素的參與，才能完成完整的複製。C 端區域則具有 RNA polymerase 活性。推論這個蛋白質應該負責病毒基因體的複製與 RNA 5' 端的 capping 反應，因此為病毒複製酵素。病毒基因體 5' 端具有 cap 的構造可能是($m^7G_{\text{PPP}}G$)，3' 端形成不包含 polyA 在內的偽結(pseudo knot)類似 t-RNA 結構，能接受組胺酸，病毒整個基因組中存在四個開放轉譯架構(open reading frames, ORFs)，分別為 RdRp (RNA-dependent RNA polymerase)、MP (movement protein) 及 CP (coat protein) 基因，加上 5' 端非轉譯區(5' non-translated region, 5' NTR) 和 3' 端非轉譯區(3' non-translated region, 3' NTR)。ORSV 3' NTR 核苷酸序列之長度是 genus *Tobamovirus* 病毒中最長的，且最容易與其他 tobamoviruses 區別⁽¹⁰⁾。5' 端第一個ORF 轉譯 126 kDa 蛋白，終止密碼為 TAG，可以被通讀為轉譯一個更大分子量為 181 kDa⁽¹⁵⁾和 183 kDa 的蛋白^(7, 8, 10)，這個通讀蛋白的最後 95 個核苷酸與第三個ORF 重疊，第三個ORF 轉譯 34 kDa⁽¹⁵⁾、33 kDa⁽⁷⁾和 31 kDa^(8, 10)移動蛋白，其功能與病毒基因體在感染植株體內進行移動有關。第四個ORF 轉譯 18 kDa，外鞘蛋白其功能可保護病毒基因體且與感染植株體細胞膜受體有關^(7, 10, 15)。

比較不同系統 ORSV 之RdRp、MP、CP 基因核苷酸與胺基酸序列及 3' NTR 之核苷酸序列，可作為判斷遺傳上歧異度之參考，CP 基因及 3' NTR 之核苷酸序列更是在病毒分類上具有參考意義^(2, 3, 12)。本實驗的目的在於萃取 ORSV-TW 病毒 RNA，設計專一性的引子，經由 RT-PCR 增幅後，譯讀全長度核苷酸序列，分析病毒基因，並與已報告之新加坡系統 ORSV-S1 (Singapore strain Type 1 ; accession number : U34586)⁽⁷⁾；日本系統 ORSV-Cy1 (Japan strain Type 1 ; accession number : S83257)⁽¹⁰⁾；韓國系統 ORSV-Cy (Korea strain Type 1 ; accession number : NC_001728)⁽¹⁵⁾及美國系統 ORSV-U (America strain ; accession number : ORU89894)⁽⁸⁾作全長度與各基因之核苷酸和胺基酸序列比較，分析此五種同屬同種不同系統病毒基因遺傳上之歧異程度。

材料與方法

齒舌蘭輪斑病毒之來源

本研究中所使用之齒舌蘭輪斑病毒 (*Odontoglossum ringsport virus* ; ORSV) 係由國蘭病株經由奎藜 (*Chenopodium quinoa*) 三次單斑分離後，接種至菸草 (*Nicotiana benthamiana*)，並經 CyMV、ORSV 和 CMV 抗血清檢定後，確定感染齒舌蘭輪斑病毒，將呈現嵌紋病徵之病葉研磨成汁，接種於健康之菸草幼苗葉片上，待其病徵表現後，將病毒純化備用⁽⁶⁾。

病毒核酸之萃取與電泳分析

病毒核酸之萃取：取本實驗室已純化之 ORSV 病毒 $300 \mu\text{l}$ ($0.7 \mu\text{g}/\mu\text{l}$) 加 $300 \mu\text{l}$ 之解離緩衝液(digestion buffer) 振盪使其均勻後，加入 $1.5 \mu\text{l}$ 之 proteinase K ($10 \mu\text{g}/\text{ml}$) 並置於 37°C 水浴槽中，水浴 30 分鐘後加入同體積之 phenol/ chloroform/ isoamyl alcohol (25 : 24 : 1, pH 5.2) 之混合液，並劇烈震盪使其乳化後，於室溫下以 14,000 rpm (Jouan, A14, Italy) 離心 10 分鐘。取上層清液，並分別加入同體積之 chloroform : isoamyl alcohol (24 : 1) 溶液，劇烈震盪後，於室溫下以 14,000 rpm 離心 5 分鐘；取上層清液，分別加入 $1/10$ 體積之 3 M sodium acetate (pH 5.2) 及 2 倍體積之 100 % 酒精，進行沉降，將沉澱物真空乾燥 (Eyela CVE-100 Centrifugal Vaporizer, Japan)，再回溶於以焦碳酸二乙酯(diethyl pyrocarbonate ; DEPC) 處理過的無菌水中，病毒 RNA 濃度調整為 $1 \mu\text{g}/\mu\text{l}$ ，最後置於 -70°C 下保存之⁽³⁾。

病毒核酸電泳膠體分析：為確定所萃取出之病毒 RNA 之完整性，且估算其分子量大小，乃將萃取所得之病毒 RNA 進行水平膠體電泳以分析之。取 $4 \mu\text{l}$ 乙二醛承載緩衝液(glyoxal loading buffer) 和 $2 \mu\text{l}$ 萃取的病毒 RNA ($1 \mu\text{g}/\mu\text{l}$) 混合均勻後，經由 1.5% 洋菜水平膠體及 0.5% X TAE 緩衝系統，進行水平膠體電泳分析，經溴化乙銨(ethidium bromide) 染色後，與 RNA markers (0.24-9.5 kb, BRL) 比對，估算 ORSV-TW 病毒 RNA 分子量大小⁽³⁾。

病毒基因核苷酸序列之選殖

由 3' NTR 序列開始到至 5' NTR 序列，其中包括 ORSV-TW 整個基因組中 RdRp 基因之 replicase protein 和 readthrough protein、MP 和 CP 基因等四個開放轉譯架構。ORSV-TW 基因序列選殖所用引子之設計，是以 ORSV-S1 (accession number: U34586)⁽⁷⁾之病毒核苷酸序列作為參考序列，再視核苷酸序列之特性約 500-1000 bp 大小之間設計出一組引子(表一)進行 RT-PCR。各組引子間所涵蓋之基因序列有重複序列(約 50-100 mers)以便用於定序、比對及組合序列。

反轉錄聚合酶連鎖反應(RT-PCR)，將萃取的 ORSV-TW 的 RNA 定量後，取 $1 \mu\text{l}$ ($0.1 \mu\text{g}$) 配合所設計之引子

對，利用 QIAGEN OneStep RT-PCR Kit (QIAGEN, USA) 進行 RT-PCR 反應，增幅條件依使用說明指示進行，增幅作用於自動溫度循環控制器 GeneAmp PCR system 2400 (Perkin Elmer, USA) 中進行。

病毒 5' NTR 核苷酸序列之選殖

利用 SMARTTM RACE cDNA Amplification Kit (Clontech, USA) 進行反應，合成包含 5' NTR 序列之 cDNA。以 3' 端引子 ORSV-9R (表一)，合成第一股 cDNA 包含 5' NTR 序列。第一股 cDNA 之增幅條件依使用說明指示進行。再以包含 5' NTR 之第一股 cDNA 作模板，兩端引子 ORSV-R10 和 Smart 2A (表一)進行 PCR 增幅反應 (TaKaRa, Japan)。

病毒 3' NTR 核苷酸序列之選殖

病毒核酸 3' 端連結 poly(A)：取不具有 poly(A) 尾端之 ORSV-TW 病毒 RNA 1 μl 進行 poly(A) 連結，利用 3' End Labeling Kit (Boehringer Mannheim, USA) 將 poly(A)

連結到 ORSV-TW 病毒 RNA 之尾端，以便合成包含完整之 3' NTR 之第一股 cDNA。

第一股 cDNA 之合成：取上述完成含 poly(A) 之 ORSV-TW RNA，配合引子 polyT1 (表一)，利用 SuperScript™ III RNase H-Transcriptase Kit (Invitrogen, USA) 合成第一股包含完整 3' NTR 之 cDNA。

聚合酶連鎖反應 (PCR)：將第一股 cDNA 作為模板，配合兩端引子 ORSV-R3NF 和 PolyT2 (表一)進行 PCR 增幅反應 (TaKaRa, Japan)。

RT-PCR 和 PCR 產物之電泳膠體分析

將上述之產物經由 1.5 % 洋菜水平膠體及 0.5X TAE 緩衝系統進行電泳分析，經 ethidium bromide 染色後與 DNA markers (0.05-2 kb, Novagen, Germany; 0.1-1.5 kb, Promega, USA) 比對，並估算其產物分子量大小。

病毒核苷酸序列之譯讀

序列之譯讀是根據 Sanger (1977) 之雙股去氫核糖核酸

表一、齒舌蘭輪斑病毒台灣系統之 RT-PCR 和 PCR 基因序列合成引子序列表

Table 1. Synthetic primers used in RT-PCR and PCR reactions for amplifying viral genes of ORSV-TW strain

Primers	sense/antisense (+/-)	Corresponding position ¹	Sequences	Target gene
ORSV-F1	+	5911-5930	5' CTGCAGGCGCTGGTTACTTC	3' CP
ORSV-R1	-	6589-6609	5' TGGGCCCTACCCGAGGTAA	3' CP
ORSV-F2	+	5251-5270	5' TACAGTGTCAACCCTGCCGA	3' MP, CP
ORSV-R2	-	6011-6030	5' TCTGCGGATTTCCACCTCG	3' MP
ORSV-F3	+	4611-4630	5' CATCATGACAGAGTTGCCAT	3' 126/183 kDa RdRp, MP
ORSV-R3	-	5391-5410	5' TCTTCTCTCAGTCCGAGT	3' 126/183 kDa RdRp, MP
ORSV-F4	+	4117-4136	5' TTTACACCCGAAAACGCC	3' 126/183 kDa RdRp
ORSV-R4	-	4786-4805	5' TACTGCGGTCTTGTGGACCT	3' 126/183 kDa RdRp
ORSV-F5	+	3381-3400	5' GTCGATGCCGGGATCTTATA	3' 126/183 kDa RdRp
ORSV-R5	-	4163-4182	5' TTGGCACCGTCGAATCCAA	3' 126/183 kDa RdRp
ORSV-R4-5	-	4290-4309	5' CTTCCTATGTCCTGTTCC	3' 126/183 kDa RdRp
ORSV-F6	+	2642-2661	5' GAGAGCTAATAAGCTGGAC	3' 126/183 kDa RdRp
ORSV-R6	-	3443-3462	5' CAGATTAGGACATGGTACG	3' 126/183 kDa RdRp
ORSV-F7	+	2016-2035	5' CCAAAGCAAAGCTACGGTGA	3' 126/183 kDa RdRp
ORSV-R7	-	2793-2812	5' TCACGACAATGGGACAATGC	3' 126/183 KDa RdRp
ORSV-F8	+	1201-1230	5' CCGTCACTTCAGGAAAGATG	3' 126/183 kDa RdRp
ORSV-R8	-	1981-2000	5' GATGCGGACAGGTAATCCAT	3' 126/183 kDa RdRp
ORSV-F9	+	451-470	5' TTGACATTCGCGATGTGGCT	3' 126/183 kDa RdRp
ORSV-R9	-	1381-1340	5' CACAGACTTGTCTACATCCC	3' 126/183 kDa RdRp, 5'NTR
Smart2A ²	+		5' CAGTGGTATCAACGCAGAGT	3' 126/183 kDa RdRp, 5'NTR
ORSV-R10	-	539-559	5' GCTGATTGCTAAAAACCGG	3' 126/183 kDa RdRp, 5'NTR
PolyT1	-		5' TGGTCATGTAGACAGCAGAC TTTTTTTTTTTTTT	3' 3'NTR
ORSV-3NF	+	6338-6357	5' TCCCGTTGTGTACACGATAG	3' 3'NTR
PolyT2 ³			5' TGGTCATGTAGACAGCAGAC	3' 3'NTR

¹ Corresponding positions referred to that of ORSV-S1 (Acc. No. U34586).

² Sequence referred to Smart II oligo sequence (Clontech, USA) and used for 5'-NTR amplification.

³ Sequence referred to polyT1 and used for 3'-NTR amplification.

鏈終止 (dideoxy chain termination) 方法⁽¹⁶⁾，使用 ABI PRISM™ Dye Terminator Cycle Sequencing Ready Reaction Kit 及 ABI PRISM 377 DNA Sequencer (Applied Biosystems, USA.) 核酸自動定序儀進行核苷酸序列之譯讀，再利用 Hitachi software DNASIS for Windows (version 2.1 DNASIS, Hitachi Software Engineering America Ltd. USA) 軟體分析系統的序列功能進一步合成核苷酸序列。

病毒基因序列與國外同種病毒之比較

將 ORSV-TW 整個基因組中所包含 126/183 kDa RdRp、MP、CP 等四個開放轉譯架構之基因序列，利用上述軟體分析系統的功能，分別進行 A、T、G、C 含量分析，轉譯成胺基酸序列，並與新加坡系統 ORSV-S1 (accession number: U34586)、日本系統 ORSV-Cy1 (accession number: S83257)；韓國系統 ORSV-Cy (accession number: NC_001728) 及美國系統 ORSV-U (accession number: ORU89894) 之RdRp/readthrough protein, RdRp/replicase, MP, CP 等四個開放轉譯架構之基因核苷酸和胺基酸序列及 5' 至 3' NTR 全長度核苷酸序列，進行多重序列比對 (multiple sequence)，分析不同系統間核苷酸序列相同度、胺基酸序列相似度和 5' 和 3' NTR 核苷酸序列的相同度及親緣關係。

結果

病毒核酸之萃取及電泳膠體分析

齒舌蘭輪斑病毒台灣系統 ORSV-TW 之 RNA 分子經萃取後，以 1.5 % 洋菜水平膠體電泳分析之結果顯示，電

表二、齒舌蘭輪斑病毒各系統之基因序列核苷酸與胺基酸數目之比較

Table 2. Lengths in nucleotide (nt) and amino acid (aa) of genomic regions of *Odontoglossum ringsport virus* (ORSV)

Fragments	Strains ¹	Genomic regions ²							
		Full-length	5'-NTR	RdRp	RdRp	CP		18 kDa	3'-NTR
				readthrough protein	kDa	replicase	MP		
nt	TW	6612	63	4839		3339	912	477	414
	S1	6609	62	4839		3339	912	477	412
	Cy1	6611	62	4839		3339	840	477	414
	Cy	6611	69	4788		3339	912	477	414
	U	6618	62	4839		3339	840	477	414
aa	TW			1612	183	1112	303	33	158
	S1			1612	183	1112	303	33	158
	Cy1			1612	183	1112	280	31	158
	Cy			1595	181	1112	303	34	158
	U			1612	183	1112	280	31	158

¹ TW: Taiwan strain (Acc. No. AY571290); S1: Singapore strain (Acc. No. U34586); Cy1: Japan strain (Acc. No. S83257); Cy: Korea strain (Acc. No. NC_001728); U: America strain (Acc. No. U89894).

² NTR: non-translated region; RdRp: RNA-dependent RNA polymerase; MP: movement protein; CP: coat protein.

泳僅出現單一分子片段，該片段與 0.24-9.5 kb 之 RNA markers (Sigma, USA) 比對之後，估計其 RNA 分子量大小約為 6.6 kb。

病毒基因核苷酸序列之電泳膠體分析

從 3' 至 5' NTR 核苷酸序列，使用 QIAGEN OneStep RT-PCR Kit (QIAGEN, USA)，並以十對引子進行 RT-PCR 反應以增幅出特定大小之片段，並將產物進行 1.5 % 洋菜水平膠體電泳分析，經與 0.05-2 kb (Novagen, Germany) 或 0.1-1.5 kb (Promega, USA) DNA makers 比對，其產物分別約為 0.6、0.8、0.8、0.7、0.8、0.8、0.8、0.7、0.9 和 0.9 kb。

病毒 5' NTR 核苷酸序列之電泳膠體分析

ORSV-TW RNA 經 SMART™ RACE cDNA Amplification Kit 以 ORSV-R9 引子反轉錄為第一股 cDNA，再使用第一股 cDNA 為模板，利用 ORSV-R10 與 Smart2A 一組引子(表一)，進行 PCR 增幅反應，並將產物進行 1.2 % 膠體電泳分析，經與 0.1-1.5 kb DNA markers (Promega, USA) 比對分子大小，其產物約為 0.6 kb。

病毒 3' NTR 核苷酸序列之電泳膠體分析

ORSV-TW RNA 經 poly(A) 連結後，再經 PowerScript™ Reverse Transcriptase 以 polyT1 引子進行反轉錄為第一股 cDNA。使用上述之第一股 cDNA 為模板，再使用 ORSV-3NF 與 polyT2 一組引子(表一)，分別進行 PCR 增幅反應，並將產物進行 1.2 % 膠體電泳分析，經與 0.1-1.5 kb DNA markers (Promega, USA) 比對分子大小，其產物約為 0.3 kb。

↑ readthrough protein 與 replicase protein

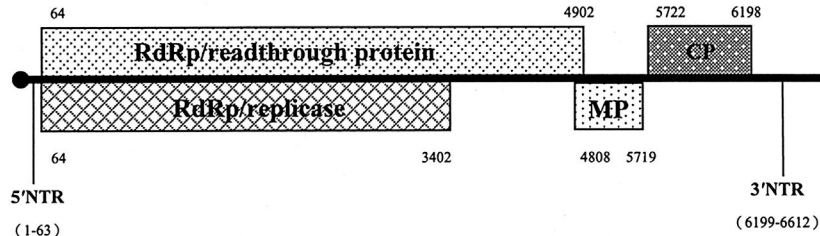
GGT	3
ATTGTTGATTACTACAATCACAACAAACATTACAACAAAATTACAATTACATTAAC	63
ATGGCACACTTCAACAAACAAATGAACAACAAAAGTATTGAGGCTGTATGGCGAAC	123
M A H F Q Q T M N N K V I E A G M G R N	20
readthrough protein 與 replicase protein	
AGCCTCATTAACGATTGGCTCAGAGCGTITTCAGATAACGCTGTGCGAAGAGTTAAC	183
S L I N D L A Q R R V Y V D N A V E E L N	40
CACCGTTCTAGACGCCAAAGGTTAACCTTCCAAGGTCTTCTCAGGAACAGATTATT	243
H R S R R P K V N F S K V I S Q E Q I I	60
CAAGCTACTAATGGTACCCCTGAGTTGAATCACCTTACAACACTCAACTCGCTGC	303
Q A T N A Y P E F E I T F Y N T Q L A V	80
CACTCGATGGGGGGAGGTCTCGAGCACTCGAGCTCGAGTATCTATGATGCAAATCCCA	363
H S M A G G L R A L E L E Y L M M Q I P	100
TTTGGTTCTGTTACGTATGACATCGGGGAACTTTCAAGCGACTTATATAAAGGACGA	423
F G S V T Y D I G G N F S A H L Y K G R	120
GATTACGTCCATTGCTGTATGCCATACTTGACATTCGGATGTTGCTGTCACATCAAT	483
D Y V H C C M P N L D I R D V A R H I N	140
CAACAAGATACTGTTCTACTTACTGGCTAGGCTGAGAGAAGCAAGGGGTCTCCG	543
Q Q D T V S T Y L A R L E R S K R G L P	160
GTGTTTCAAGCAATCAGCTTITAATAATATATGAATGACCTGATGCTGTGCTGCAT	603
V F Q Q S A F N K Y M N D P D A V C C D	180
AAAAGGTTCAAGACTGTTCTACTCGGTGATCTCCGGGAAACATACCGTGTGGCG	663
K R F Q D C S Y S V D L P G K T Y A V A	200
CTTCATAGTATCTATGATACTTCAGCGGTAGAGTCGGAGCTGCCATTACGAAAGGAT	723
L H S I Y D I P A D E F G A A L L R K D	220
GTTACATATGTTATGCTGCTTCTATTAGTAGATCTGAGACTACGTCT	783
V H I C Y A A F H F S E N L L L E T T S	240
GCTCCGCTCGATGAGATGGAGGCGACGTTTACAAGTCAGGGGATAGATTATCCTTTTC	843
A P L D E I G A T F Y K S G D R L S F F	260
TTTCAAAATGAGAGCACATTGAACATTCTATATAAAAGCTAATTAATATGTT	903
F Q N E S T L N Y E H S Y K N V I K Y V	280
TGCAAGACTTTTCCAGCTTCAAAGATTGCTTACACATAAGGAATTATGTCGACC	963
C K T F F P A S N R F V Y H K E F M C T	300
AGAGTTAACACATGGTTGTAAGTCACCAAGGTAGATACTTATTCCTTCCGAGGG	1023
R V N T W F C K F T K V D T Y F L F R G	320
GTGTATACTAGGGAGAAGATTCTGAACAAATTACACTGCTATGGATGAAGCATGGAG	1083
V Y T R G E D S E Q F Y T A M D E A W E	340
TATAAGAAAATTGGCAATGCTTAATAGCGAAGGACATTCGCGATCGCGCTCGG	1143
Y K K T L A M L N S E R T I F R D R A A	360
GTAACTTTGGTTCTCAAAGTTAAGGATATGGTATTTGCGCTTTTGATGGTCC	1203
V N F W F P K V K D M V I V P L F D G S	380
GTCACCTCAGGAAAGATGAAAAGAAGTGAAGTCATGGTAACAAGGATTGTTACACC	1263
V T S G K M K R S E V M V N K D F V Y T	400
GTITTAATCACATCCGTTACCTATCAAGACAAAGCTTGCACCTATAAAACGTTCTCC	1323
V L N H I R T Y Q D K A L T Y K N V L S	420
TTTGTGAGTCATTAGGCTCGTGTGATTAAATGGTGTGACTGCAAGATCTGAGTGG	1383
F V E S I R S R V I I N G V T A R S E W	440
GATGTGACAAAGCTGTGTTACAGGGTTATCTATGACTTTTACAGACGAAGTGG	1443
D V D K S V L Q A L S M T F L L Q T K L	460
GCTGAACAAAAGATCAACTCGTACTTAAACAAATTGACGATACAGTTACT	1503
A E A K D Q V V L K K F Q K F D D T V T	480
AATCTTTCTGAAACAGATTAGTGTGCTGTAGGGATCTTCCCGTCAAGGAA	1563
N L F W K Q I S D A V G D L F P S I K E	500
AGGCTCATTCAGGGTGGTTGTAAGGCTGCGAACATTTACAATTAAACGCT	1623
R L I S G G F V K V A E Q S L Q I K T P	520
GATGAGTATATCACCTTCTCAGATAACTGGTATGGAATATAAGCAACTGAGAGCTT	1683
D E Y I T F A D K L V M E Y K A T E E L	540
CAACATCTAGACATTAGTCAGCTCTGAGAGAGCGAGAAATTATAACGCTTATCG	1743
Q H L D I S K P L E R A E K Y Y N A L S	560
GAACATCGGTTCTCAAGGAATGCGAGCTTGTGATATAACGCAATTCAAGAATTATGT	1803
E L S V L K E C D E F D I T Q F K N L C	580
GAAGAAAAGGACATTGATCCAGACGCTGTCGGCAAAGTGTGATCGTCGCCATCATGAAGAAC	1863
E E K D I D P D V V A K V I V A I M K N	600
GAACTCACACTGCCTTAAACACGCCATGAGCATATTGCGATGCTTACCG	1923
E L T L P F K N P T P E A L S D A L S P	620

↑ replicase protein

TTACCCAAAGACTGGATATGAGATTGATCTGCTTAAATTAAGTACGTGTGACCCCTT	1983
L P K D L D M R F D L L K L S T C A P F	640
CCAAGCGTAAACATTAGATGTTTATTACCAAGCAAAGCTACGGTACGGAAAGA	2043
P S V K T L D S G L L P K Q S Y G D E R	660
CAATTGAGAGTCATCTGCTGTCTGATCTGATTTCATCTTAAGGCGTCAGTC	2103
Q F E S Q S V V S V S V D F H L K S V E S	680
GTAAAATGAAAACATGCGTCAGCGCTCACAGGCCCCCAAAGTTCAACAGATG	2163
V K M K N M S S A V Y T G P L K V Q Q M	700
AAGAACTATGATTACCTGTCGCATCGATTTCGGCTACTGTTCAAATTATGCAAG	2223
K N Y M D Y L S A S I S A T V S N L C K	720
GTGCTAAAGGATGTCATGGTCCGACCCAGAGTCGAGAAAAGTCGGAGTCACGAT	2283
V L K D V Y G A D P E S A E K S G V Y D	740
GTAGTGAAGGCAAATGGTTAAAACCAAAGGATAATGTCACCGCTGGGTGTTGCC	2343
V V K G K W L L K P D K C H A W G V A	760
GAACTTAACAATGGGGAAAGTCATCGTATTACTCGAATGGCTGATGGATTCCCTATT	2403
E L N N G E K V I V L L E W A D G F P I	780
TGTGGTGATTGGCGACGAGTGGCGCTCTTCAGATTCCCTTATTATTCAGATATGGGA	2463
C G D W R R V A V S S D S L I Y S D M G	800
AAACTTCAGACGTTGTAAGCTGCTTAAGGACCGTGGACCCGTACCTCGGATGGAAA	2523
K L Q T L L S C L K D G E P V P S D A K	820
GTCACGGTGTAGAGTCGCGCTCTGGTTGTAAGGAAAAGAAAGTTCITGAACTGIG	2583
V T L V D G V P G C G K T K E I L E T V	840
AATTGATGAGGACTTAATACTGTTCTGGTAAAGAAGCTGTTAAAATGATTATCAAG	2643
N F D E D L I L V P G K E A C K M I I K	860
AGAGCCAATAAGTCGGACATGTAAGAGCGACAAAGGATAATGTAAGAAGTCGATTG	2703
R A N K S G H V R A T K D N V R T V D S	880
TTCTTAATGCTCTGAAGCTTAAGCTTATAACAAACTGTTATCGATGAAGGTTGATG	2763
F L M H L K P K T Y N K L F I D E G L M	900
TTACACTGGTTGTCAGTCATGATAGCATGTCCTGAGCGATGGGT	2823
L H T G C V N F L I A L S H C R E A M V	920
TTTGGTGACTGAACAACTCCCTTATAAACAGAGTGGCAAATTCCCTATCGAAA	2883
F G D T E Q I P F I N R V A N F P Y P K	940
CATTTGTCACACTGTTATGTCATAGGGAGGTTAGGGAGGTTACACTAGTCGCG	2943
H F A T L V Y D H R E V R R L S L R C P	960
GCAGATGTCACGCTTATGAACTCAAATATGACGGGAAAGTTATGTCAGAGTGT	3003
A D V T H F M N S K Y D G K V L C T S D	980
GTGATTGCTCAGTGATGTCAGGTTAGGGAAAGGGTTTAACCGAAAAGC	3063
V I R S V D A E V V R G K G V F N P K S	1000
AAACCGCTTAAAGGAAATTATCACCTCAACTGACAAAGCCGACTGAAGGAG	3123
K P L K G K I I T F T Q S D K A E L K E	1020
CGTGGTTATGAGAAGTTCACTTTGGTAAGGTTACACCGTACACGAAATCCAAGGT	3183
R G Y E E V S T F G E V N T V H E I Q G	1040
GAGACCTTGAAGACGTATCGGTTGTTGACACCAACTCCATGGCTTATATCA	3243
E T F E D V S V V R L T P T P L E L I S	1060
AAGAGTTCACCGCACGTCCTGTTGATGACAAGACATACTAAAGCTCAATATTAC	3303
K S S P H V L V A L T R H T K S F K Y Y	1080
TCTGTTGCTCTGATCTCTCGTCAAAGTTGCTCTGATTAAAGCAAGGTCAGACTT	3363
S V V L D P L V K V C S D L S K V S D F	1100
ATACTGGATATGATAAGGTCGATGCCGGATCTTATGCAATTACAGGTAGGGAGTATC	3423
I L D M Y K V D A G I L * Q L Q V G S I	1120
replicase protein ↑	
TTCAAGCGAAAATCTATTGTCACCATGTCCTAAATCTGTTATTTCTGATATGCAA	3483
F K G E N L F V P C P K S G Y I S D M Q	1140
TTTTATTGACACTTGTACTGAAACAGCACTATTAAACAGGATGATGTCAGTG	3543
F Y Y D T L L P G N S T I L N E Y D A V	1160
ACTATGAATCTCGTCAAAGATACTTAAATGTCAGGATGTCAGATGATTTCTAA	3603
T M N L R E N N L N V K D C T I D F S K	1180
TCTGTTAGTGTCCCAGACAACAAAGAGTTTACACCACTTCGAACGTCAGCTGCT	3663
S V S V P R Q Q E F F T P V I R T A A	1200
GAACGTCACCGTAGTGTGCTCCCTGAAAACCTGTCGCAATGATAAAAAGAAATT	3723
E R P R S A G L L E N L V A M I K R N F	1220
AACTCTCCAGATTAAACGGGTATTAGATATGAGATACTGCCAACCTGAGTAA	3783
N S P D L T G I L D I E D T A E L V V N	1240
AAGTTTGGATGCTTACATTATTGACGAACCTCTGGTGGAAATGTTACACCGATGACT	3843

AAGTTTGGGATGCTTACATTATTGACGAACCTTCTGGTGGAAATGTTACACCGATGACT 3843
 K F W D A Y I I D E L S G G N V T P M T 1260
 TCAGATGCCCTTCACAGGTGGTCAAGCAGGAGAAAAGTACTATTGGTCAATTAGCT 3903
 S D A F H R W M A K Q E K S T I G Q L A 1280
 GATTTGACTTGTGATTACCCGCTATGATCAATAACACATATGATTAAGGCCAA 3963
 D F D F V D L P A I D Q Y K H M I K A Q 1300
 CCTAACAGAAGCTTGTCTCACTCTCAAGATGAGTATGCTGCACCTCAGACTATTGTT 4023
 P K Q K L D L S P Q D E Y A A L Q T I V 1320
 TATCACTCAAGCAGATAATGCAATTTCGGTCTCTTTTCCGATTAACTAGACAG 4083
 Y H S K Q I N A I F G P L F S E L T R Q 1340
 CTTTAGAGGAGTAGACAGTACAAATTGTTACACCGGAAACGCCGAACAG 4143
 L L E R I D S S K F L F Y T R K T P E Q 1360
 ATTGAAGAGTTTCTCAGATTGGATTGACGGTGCAATGGAAGTCTAGAGTTAGAC 4203
 I E E F F S D L D S T V P M E V L D 1380
 ATTTCAAAGTATGACAATCCAGAACGAATTCCATTGCTGTTGAGTACTTGATTG 4263
 I S K Y D K S Q N E F H C A V E Y L I W 1400
 GAGAAACTGTCITAATGCTCTCGAAGAACTTGGAAACAGGGACATAGGAAGACA 4323
 E K L G L N G F L E E V W K Q G H R K T 1420
 TCCCTGAAGGATTACACCGCAGGAATAAGACTTGTATGGTCAAAGGAAAGCGGA 4383
 S L K D Y T A G I K T C L W Y Q R K S G 1440
 GATGTAACACTATTGCAATACAGTTATTAGCTGCTTGTGCGTCGATGATA 4443
 D V T T F I G N T V I I A A C L A S M I 1460
 CCTATGGATAAGGTAAATTAAGCTGGTTTGTGAGATGATGTTCTATACATCCA 4503
 P M D K V I K A A F C G D D S I L Y I P 1480
 AAGGGACTTGTCTCTGATATCCAATCTGGAGGAAATTGATGTTGAACTCGAGGCA 4563
 K G L D L P D I Q S G A N L M W N F E A 1500
 AAATTATATCGTAAGCGTACCGGATATTGGCGGAAGGTATATTATCATCATGACAGA 4623
 K L Y R K R Y G Y F C G R Y I I H H D R 1520
 GTGCCCCATTGTTGATTACGACCCCTTAATTAAATTCTAAGTTAGGTGAAACACATC 4683
 G A I V Y Y D P L K L I S K L G C K H I 1540
 AAATCTTGGATCATTTGAGAATTAGTACCGTGTGAGCTTCTCTTTA 4743
 K S L D H L E E F R I S L C D V S S S L 1560
 AATAATTGCGTATTTGGTCAATTGAATGATGCAATTGCTGAGGTCACAGACCGCA 4803
 N N C A Y F G Q L N D A I A E V H K T A 1580
 GTAAATGGTGTGTTGCGTTTGTAGTATTGTTAAGTATCTTCCGATAAAACCTTTC 4863
 V N G S F A F C S I V K Y L S D K N L F 1600
 MP→M G R L R F V V L L S I F P I K T F S 20
 AGAACCTGTTCTACAATGGCTCTAGTACTAAGGGATAGCATCAAATCTGAAATTAT 4923
 R T L F Y N G S S T K G * ↑ readthrough 1612
 protein ↓

E P C S T M A L V L R D S I K I S E F I 40
 TAATTTACGCCCTCTGAAAACACTACCGTCAGCTCTAACGGCTGTCAGCTGGTAGC 4983
 N L S A S E K L L P S A L T A V K S V R 60
 TATTCACCAAGGTGATAAAATTATAAGTACCGAGAATGATACTTTGCTGATATTGATT 5043
 I S K V D K I I S Y E N D T L S D I D L 80
 GCTTAAAGGTGTAAGTTAGTAGAGAATGGGTATGTTGCGCTGCOGGCCTGTCGTCAC 5103
 L K G V K L V E N G Y V C L A G L V V T 100
 TGGTGAATGAAATTGCGGACAATTGCAAGGGTGTGAGTATCTGCTTGTAGACAA 5163
 G E W N L P D N C K G G V S I C L V D K 120
 ACGCATGAAAGGCTAATGAAGCACACTGGCTCTTATCATACATGCTGCAAGAA 5223
 R M K R A N E A T L G S Y H T S A C K K 140
 GAGATTACCTTAAATTACCCGAAACTACAGTCACCACTGCCAGCCTCTAAAGG 5283



圖二、齒舌蘭輪斑病毒台灣系統(ORSV-TW)之基因體示意圖

Fig. 2. Genome organization of *Odontoglossum ringspot virus* (ORSV-TW). NTR、RdRp、MP and CP represent the non-translated region, RNA-dependent RNA polymerase, movement protein, and coat protein, respectively. Numbers indicate the start and stop positions of each region.

R F T F K I I P N Y S V T T A D A L K G 160
 AATATGGCAAGTATGACAAATTAGAGGTGTGAAATGGAAAAGGGTTTGCCTT 5343
 W Q V M T N I R G V E M E K G F C P L S 180
 ATCTTGGAGTTGTTCTATTGCTAGTGTATTAAATAATATAAAACTCGGACTGAG 5403
 I L E F V S I C I V Y L N N I K L G L R 200
 AGAGAAGATTTGACGTAACAGAAGGAGGCCACCGAACCTACTGAAGCAGTGTGA 5463
 E K I L N V T E G G P T E L T E A V V D 220
 TGAGTCTGAGAAAGTCTCTATGGCTCTAGGCTCAAGCTTTGCTCTGCAACAA 5523
 E F V E K V P M A A R L K S F R S V N K 240
 AAAGAAACCTAGTAACAGTCTAAGTTGTTAATGGAAAATCTAGACTTAATAGTCGTA 5583
 K K P S N S S K F V N G K S R L N S R N 260
 TAAATTAATTATGAAATGGTGTAGTGTGTGTACTAGTGTGTAGATGATATTG 5643
 K L N Y E N G D S D V G T S V V D D I V 280
 GGTTAGTAATGGTGTAGTGTGATATTGATGATGTTGAGTCATTGACGCACA 5703
 V S N G V S D I R I D D D C E S F D A Q 300
 ATCTGATTGCTATGAAATATGCTTAACTATTACAGACCCGCTTAAGCTGCTTATTIA 5763
 S D S Y * ← MP 305
 CP → M S Y T I T D P S K L A Y L 14
 AGCTCGGCTGGGCTGACCCCAATTCAACTAACCTTGACCAATTCTCTGGTAA 5823
 S S A W A D P N S L I N L C T N S L G N 34
 CAGITCCAAACACAACAAGCTCGAACAACTGTTCAACAGCAGTGTGCTGATGTTGGCAG 5883
 Q F Q T Q Q A R T T V Q Q Q F A D V W Q 54
 CGGGTCTACTTGTGACAGTAGGTTCCCTGCGAGGCGCTGGTACTTCAGAGTTATCGC 5943
 P V P T L T S R F P A G A G Y F R V Y R 74
 TATGATCTTATAGATCTTAAATAACTCTTAATGGTACTTTGATACTCGTAAT 6003
 Y D P I L D P L I T F L M G T F D T R N 94
 AGAAATAATCGAGGTAGAAAATCCGAGAACATCCGACAACATTAGATGCAACT 6063
 R I I E V E N P Q N P T T T E T L D A T 114
 CGTAGAGTTGATGATGCAACTGAGCAATAAGCTGCAATAAAATCTATTAAATGAG 6123
 R R V D D A T V A I R S A I N N L N E 134
 TTAGTTAGGGAACGGTGTAGTACAATCAAGTCATTTGAGACGATGTCGACTACT 6183
 L V R G T G M Y N Q V S F E T M S G L T 154
 TGGACCTCTCTCAATCATATTAGGAAAATAACGTTGATAGTGTGAACATCCGTGGT 6243
 W T S S * ← CP 159
 GCATACGATAATGCGATAGTGGTATCCCTCACTTAATCGAAGGGTTTCACTGCGGA 6303
 TATGAGTTTCTACCGTGAATAATAACCTATATCCCGTGTGACACGATAGTACAT 6363
 AGTGTGTTATCCCTCACTTAATCGAAGGGTTTGTGTCACACGCGTGTAGGAGTGGTC 6423
 AACCTTACGACACATTAAATAATGGCTCGTGTGCAACGATAATCGATGTTTG 6483
 TCCCTCACTTAATCGAAGGGTTGTGTTATATGGATCATCGCGATAAAAGTTACTGGT 6453
 CAGTATAACCGTTACACGTAACATTGAGGATTCGAATTCCCCTACCTGGGT 6603
 AGAGGCCCA

圖一、齒舌蘭輪斑病毒台灣系統(ORSV-TW)全長度核苷酸及胺基酸序列(accession number : AY571290)

Fig.1. The full-length cDNA nucleotide and amino acid sequences of ORSV-TW RNA(accession number : AY571290). RdRp、MP and CP represent RNA-dependent RNA polymerase, movement protein, and coat protein, respectively. Arrows indicate the start and stop positions of each region.

病毒RNA核苷酸序列之譯讀分析

ORSV-TW 之 RNA 核苷酸序列譯讀分析，共完成 3' 到 5' NTR 全長度核苷酸序列，為 6612 個核苷酸，其中包含 RdRp、MP 和 CP 基因。5' NTR 共定序出 63 個核苷酸，3' NTR 共有 414 個核苷酸。在 4 個開放轉譯架構中，RdRp 基因分別有 4839 個核苷酸，轉譯成 1612 個胺基酸的 readthrough protein，末端停止密碼子 (stop codon) 為 TAG，分子量為 183 kDa，和 3339 個核苷酸，轉譯成 1112 個胺基酸的 replicase protein，末端停止密碼子為 TAG，分子量為 126 kDa；MP 基因共有 912 個核苷酸，轉譯成 303 個胺基酸，末端停止密碼子 TGA，分子量為 33 kDa，CP 基因共有 477 個核苷酸，產生 158 個胺基酸，末端停止密碼子為 TAA，分子量為 18 kDa。而在 RdRp 基因與 MP 基因間共有 95 個核苷酸重疊 (overlapping)，MP 與 CP 基因間有 2 個核苷酸間隙 (intervistron) 是屬於非轉譯區核苷酸序列。齒舌蘭輪斑病毒台灣系統基因其核苷酸與胺基酸序列如圖一、二和表二所示。

病毒基因序列與國外同種病毒之比較

利用套裝軟體 Hitachi software of the DNAsis for windows (version 2.1 DNAsis)，進行 ORSV-S1、-Cy1、-Cy、-U 和 -TW 五個系統之 RdRp/readthrough、RdRp/replicase、MP、CP 基因的核苷酸、胺基酸序列及 5' 和 3' NTR 核苷酸序列之分析比較。結果顯示(表三)五者之全長核苷酸序列相同度高達 99.3-96.7 %；RdRp/readthrough 基因核苷酸相同度高達 99.0-97.1 %，胺基酸相似度高達 98.8-94.4 %；RdRp/replicase 基因核苷酸相同度高達 99.0-96.9 %，胺基酸相似度高達 99.1-94.3 %；MP 基因核苷酸相同度高達 99.1-97.5 %，胺基酸相似度高達 98.5-95.5 %；CP 基因核苷酸相同度高達 100.0-97.6 %，胺基酸相似度高達 99.3-94.9 %；5' NTR 核苷酸相同度則高達 100-80.9 %；

表三、齒舌蘭輪斑病毒台灣系統與其他四種不同系統的基因核苷酸相同度之比較

Table 3. Nucleotide identity (%) of the genes between ORSV-TW and other ORSV strains

Strains ¹	RdRp Full-length	RdRp readthrough protein	replicase	MP	CP
S1	98.4 ²	98.3	98.2	98.3	99.7
Cy1	99.3	99.0	99.0	99.1	99.5
Cy	96.9	97.5	96.9	98.3	98.1
U	98.6	98.9	98.6	97.5	100

¹ S1: Singapore strain (Acc. No. U34586); Cy1: Japan strain (Acc. No. S83257); Cy: Korea strain (Acc. No. NC_001728); U: America strain (Acc. No. U89894).

² Nucleotide identity (%).

3' NTR 核苷酸相同度則高達 99.8-95.3 %。CP 基因其核苷酸相同度，以 ORSV-U 與 ORSV-TW 系統相同度最高為 100 %，其次是 ORSV-Cy1、ORSV-U 與 ORSV-TW 系統之相同度為 99.5%，ORSV-U 與 ORSV-Cy 系統之相同度為 98.1%，ORSV-Cy 與 ORSV-S1 系統之相同度為 97.9%，而又以 ORSV-Cy1 與 ORSV-Cy 系統之相同度 97.6 % 為最低。若比較 CP 基因胺基酸相似度，則以 ORSV-TW、ORSV-U 與 ORSV-S1 系統之相似度最高為 99.3%，其次是 ORSV-S1、ORSV-Cy1、ORSV-U 與 ORSV-TW 系統之相似度為 98.7%，ORSV-Cy、ORSV-U 與 ORSV-TW 系統之相似度為 95.5%，而仍以 ORSV-Cy1 與 ORSV-Cy 系統之相似度 94.9 % 為最低。若比較 5' NTR 核苷酸相同度，以 ORSV-S1 與 ORSV-Cy1 系統之相同度最高達 100 %，而以 ORSV-Cy1 and ORSV-Cy 系統之相同度較低為 83.0 %。若比較 3' NTR 核苷酸相同度仍以 ORSV-TW 與 ORSV-Cy1 系統之相同度最高達 99.2%，而以 ORSV-S1 和 ORSV-Cy 系統之相同度較低為 95.3 %。

若以 ORSV-TW 系統分別與 ORSV-S1、-Cy1、-Cy 和 -U 四個系統比較，對全長核苷酸序列、RdRp/Readthrough、RdRp/Replicase、MP、CP 基因核苷酸與胺基酸序列和 5' 及 3' NTR 核苷酸序列而言，結果顯示 ORSV-TW 與 -Cy1 系統之相同度均大於 -S1、-U 和 -Cy 等系統。

討 論

為確定所萃取出之齒舌蘭輪斑病毒病毒系統之 RNA 為完整的 RNA，故將萃取所得之 RNA 進行水平膠體電泳分析。結果經過與 0.2-10 kb 之 RNA markers 比對之後，得知其分子量大小約為 6.6 kb，經過核苷酸序列分析 ORSV-TW 共有 6612 個核苷酸。ORSV 為目前已知的 tobamoviruses RNA 的長度中最長，因其 ORSV 之 3' NTR 核苷酸序列，均較其他 tobamoviruses 的長度多出約 200 個⁽⁷⁾。ORSV-TW 之核苷酸序列分析，從 3' 到 5' NTR 一共譯讀完成：5' NTR 有 63 個核苷酸，比 ORSV-S1、-Cy1、-U 之 62 個核苷酸，多一個核苷酸^(7, 8, 10)；而比 -Cy 之 69 個核苷酸少 6 個核苷酸⁽¹⁵⁾，最值得注意的是 ORSV-TW 5' 端的最前端比其他的四系統多一個 G，而本研究 5' 端是利用 SMART™ RACE cDNA Amplification Kit (Clontech, USA) 合成第一股 cDNA，再將第一股 cDNA 為模板進行 PCR 增幅反應；而 ORSV-Cy 和 -Cy1，則以病毒 RNA polyadenylated 再合成雙股的 cDNA，黏合至 NotI-SalI-linearized Psport1，再轉殖至 *E. coli* NM522，由於實驗方法有所差異，但是 SMART™ RACE cDNA 合成第一股 cDNA，依其反應機制，可以很成功地選殖完整 5' 端的核苷酸序列，故 ORSV-TW 最前端的一個 G 應可採信。

ORSV-TW 之 5' NTR 核苷酸序列共 63 個，而 CAA、ACA 等 triplet 分別重覆 7 和 8 次；ORSV-S1、-Cy1 和 -U 之 5' NTR 核苷酸均為 62 個，CAA、ACA 均分別重覆 8 次；ORSV-Cy 之 5' NTR 核苷酸序列共 69 個，CAA、ACA 均分別重覆 11 次，而以韓國 ORSV-Cy 的重覆次數最多，故其 5' NTR 的核苷酸序列均較其他系統長，ACA triplet 在 TMV 病毒已證實是轉譯時的 enhancer，且在 tobamovirus 裡 5' NTR 的序列 AUU 是 ribosome 的結合位^(7, 10, 15)，在 ORSV-TW 具有六個 AUU 之重複序列。同時 ORSV-TW 在 5' NTR 含有 4 個 G-residues 數目在 5 個系統中為數最多。

進行 3' NTR 定序時，由於 RT-PCR 之上下游引子，係參考新加坡系統之序列所合成，此段定序完成之核苷酸序列不具正確性，故解讀 3' NTR 核苷酸序列，以 3' 端連結 poly(A) 來完成此項工作。再以 3' 端含已知個數 poly(T) 設計下游引子 polyT1，對病毒 RNA 進行第一股 cDNA 合成，再根據 polyT1 部分已知序列設計下游引子 (polyT2)，再以合成的 3' 端第一股 cDNA 為模板與 polyT2 引子、ORSV-3NF 兩引子進行 PCR 增幅反應，完成 ORSV-TW 3' NTR 定序，與 ORSV-Cy1、-S1、-Cy 利用連結 poly(A) 之方式相似。ORSV-TW 之 3' NTR 核苷酸序列共 414 個，不具有 poly(A) 的尾端，長度較其他的 tobamoviruses 長，且在 3' NTR (6199-6258) 共有 60 個核苷酸形成一個 t-RNA 形式結構(圖三)，且此一 t-RNA 形式結構具有一個 GTG (histidine anticodon) 其功能和 poly(A) 相當，可增加 mRNA 的穩定性及提高轉譯的效能，並且 ORSV-TW 之 3' NTR 有一個 tobamoviruses 具有的 24 個核苷酸保留區 (5' TCCCTCCACTTAAATCGAAGGGTT 3', 6268-6291)。ORSV-S1 之 3' NTR 60 個核苷酸形式結構具有兩個 loops 與 ORSV-TW 只一個 loop 有些差異^(7, 10, 15)。

RdRp 包含 readthrough protein 和 replicase。RdRp/replicase 基因共有 3339 個核苷酸序列，可轉譯產生產生 1112 個胺基酸的 replicase 蛋白；根據數段 replicase 蛋白保留性胺基酸序列 (motif) 的存在，推測 RdRp replicase 基因轉譯之蛋白的 N 端可能具有轉甲基酵素 (methyltransferase) 之活性，中間部份可能具有解螺旋酵素 (helicase) 之活性，C 端則可能具有聚合酵素 (RNA-dependent RNA polymerase, RdRp) 之活性，因此推斷此一 126 kDa 的蛋白可能為一複製酵素 (replicase)，負有執行病毒基因體 5' 端 capping 以及基因體複製的任務；183 kDa 的 readthrough 蛋白，根據 4 個保留性胺基酸序列區域，推測與病毒的複合蛋白有關形成一個病毒的 RNA 複製蛋白。RdRp/replicase 基因核苷酸與胺基酸序列，台灣系統 ORSV-TW、-S1、-Cy1、-U 和 -Cy 相同度高達 97.3% 且轉譯的蛋白均為 126 kDa，差異性很小，且基因核苷酸序列和基因胺基酸序列相同亦高達 95% 以上。

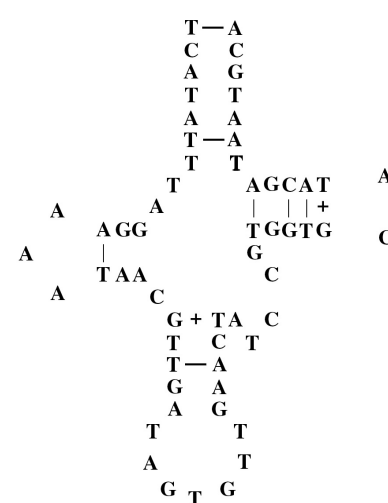
RdRp/readthrough protein 基因共有 4839 個核苷酸序列，可轉譯產生 1612 個胺基酸之 readthrough protein，韓國

系統 ORSV-Cy 分別為 4788 個核苷酸、1595 個胺基酸與 181 kDa，和 ORSV-TW、-S1、-Cy1 和 -U 基因核苷酸序、胺基酸序列與轉譯的蛋白分別為 4839 個核苷酸、1612 個胺基酸與 183 kDa 有明顯差異。但基因核苷酸序和基因胺基酸序列相同亦高達 95% 以上。

MP 基因共有 912 個核苷酸序列，產生 303 個胺基酸；轉譯的移動蛋白功能與病毒基因體在感染植株體內進行移動有關；經比較後發現 MP 基因核苷酸與胺基酸序列，ORSV-TW 與 -S1 之核苷酸與胺基酸序列均為 912 個核苷酸和 303 個胺基酸，且轉譯的蛋白亦為 33 kDa；ORSV-Cy1 和 -U 之核苷酸與胺基酸序列均為 840 個核苷酸和 280 個胺基酸，且轉譯的蛋白只有 31 kDa；ORSV-Cy 之核苷酸與胺基酸序列為 912 個核苷酸和 303 個胺基酸，轉譯的蛋白為 34 kDa (表二)。依 MP 核苷酸與胺基酸序列相同度推論台灣系統 ORSV-TW 與新加坡系統 ORSV-S1 較相近，日本系統 ORSV-Cy1 和美國系統 ORSV-U 較相近；而韓國系統 ORSV-Cy 與其他四個系統差異性較大。

所有系統之 CP 基因均有 477 個核苷酸，轉譯成 158 個胺基酸。轉譯的鞘蛋白，具保護病毒 RNA 與辨識寄主細胞膜；而 CP 基因及 3' NTR 核苷酸序列通常是病毒分類上具有參考意義的區域^(2, 5, 12, 14)。因此本實驗亦進行病毒五個系統其 CP 基因核苷酸與胺基酸序列相同度的比對，結果顯示 ORSV 不同系統，各基因比較之相同度高達 97% 以上(表三)。

根據病毒五個系統之全長度核苷酸序列、RdRp/readthrough、RdRp/replicase、MP、CP 基因核苷酸和胺基酸序列比對結果，顯示均為相同病毒之不同系統。此結果亦可作為判斷遺傳上歧異度之參考。因病毒之防治策略已



圖三、齒舌蘭輪斑病毒(台灣系統)核酸之 3' 端非轉譯區二級結構推測圖

Fig. 3. The predicted secondary structure of the origin of assembly in the 3' NTR of ORSV-TW.

朝分子層次上發展，為了發展有效對抗 ORSV 的防治策略和分子診斷技術，分析此一病毒的遺傳變異性是必要的^(1, 13)。而核苷酸序列之譯讀分析，對於基因表現的了解，以及 RNA 病毒演化之親緣關係可提供明確之資料，希望藉由對基因序列的了解，期能提供蘭花病害防治管理良好之策略，並對基礎研究能產生預期效益目標。

引用文獻

1. 王惠亮、王嬿婷、廖麗貞. 2000. 核酸探針雜合反應或反轉錄聚合酶連鎖反應偵測喜姆比蘭嵌紋病毒之比較植保會刊 42: 25-42。
2. 方鄒誠. 2002. 黑眼豇豆嵌紋病毒台灣系統基因序列之定序與分析. 國立高雄師範大學生物科學研究所碩士論文。
3. 林偉志. 2002. 蘭花喜姆比蘭嵌紋病毒台灣系統基因序列之定序與分析. 國立高雄師範大學生物科學研究所碩士論文。
4. 張清安. 1998. 植物病毒病個論(一)～蘭花病毒. 農業世界 137: 14-20。
5. Aleman-Verdaguer, M. E., Goudou-Urbino, C., Dubern, J., Beachy, R. N., and Fauquet, C. 1997. Analysis of the sequence diversity of th P1, HC, P3, NIB and CP genomic regions of several Yam mosaic potyvirus isolates: implications for the intraspecies molecular diversity of potyvirus. *J. Gen. Virol.* 78: 1253-1264.
6. Chang, C. A., and Pang, J. H. 1990. Preparation of antisera against cymbidium mosaic virus and odontoglossum ringspot virus and their uses in serological indexing for orchid industry in Taiwan. *Plant Prot. Bull.* 32:336.
7. Chng, C. G., Wong, S. M., Mahtani, P. H., Loh, C. S., Goh, C. J., Kao, M. C., Chung, M. C. and Watanabe, Y. 1996. The complete sequence of Singapore isolate of Odontoglossum ringspot virus and comparison with other tobamoviruses. *Gene* 171: 155-161.
8. Dawson, W. O. 1993. [Http://www.ncbi.nlm.nih.gov/](http://www.ncbi.nlm.nih.gov/)
9. Isomura, Y., Matumoto, Y., Murayama, A., Chatani, M., Inouye, N., and Ikegami, M. 1991. Molecular cloning sequencing and expression in *Escherichia coli* of the odontoglossum ringspot virus coat protein gene. *J. Gen Viro.* 72: 2247-2249.
10. Ikegami, M., Isomura, Y., Matumoto, Y., Chatani, M., and Inouye, N. 1995. The complete nucleotide sequence of odontoglossum ringspot virus (Cy-1 stain)genomic RNA. *J. Microbiol. Immunol.* 39: 995-1001.
11. Jensen, D. D., and Gold, H. A. 1951. A virus ring spot of odontoglossum orchid symptoms, transmission and electron microscopy. *Phytopathology* 41: 648-653.
12. Kekarainen, T., Merits, A., Oruetxebarria, I., Rajamaki, M. L., and Valkonen, V. J. P. T. 1999. Comparison of the complete sequences of five different isolates of potato virus A (PVA), genus *potyvirus*. *Arch. Virol.* 144: 2355-2366.
13. Lim, S. T., Wong, S. M., Yeong, C. Y., Lee, S. C., and Goh, C. J. 1993. Rapid detection of cymbidium mosaic virus by the polymerase chain reaction. *J. Virol. Methods* 41:37-46.
14. Pisi, A., Marani, F., and Bertaccini, A. 1982. Intracellular inclusions in host plants infected with Odontoglossum ringspot virus. *Phytopath. Medit.* 21: 27-30.
15. Ryu, K. H., and Park, W. M. 1995. The complete nucleotide sequence and genome organization of Odontoglossum ringspot tobamovirus RNA. *Arch. Virol.* 140: 1577-1578.
16. Sanger, F., Nicklen, S., and Coulson, A. R. 1977. DNA sequencing with chain-terminating inhibitors. *Proc. Natl. Acad. Sci.* 74: 5463-5467.
17. Zettler, F. W., Ko, N. J., Wisler, G. C., Elliott, M. S., and Wong, S. M. 1990. Viruses of orchids and their control. *Plant Dis.* 74: 621-626.

ABSTRACT

Wang, H. L.^{1,3}, Wang, J. N.¹, and Chang, C. A.² 2004. Molecular sequencing and analysis of the viral genome of *Odontoglossum ringspot virus* Taiwan strain. Plant Pathol. Bull. 13: 97-106. ¹ Graduate Institute of Biological Science, National Kaohsiung Normal University, Kaohsiung, 800, Taiwan, ² Taiwan Agricultural Research Institute, Council of Agriculture, Taichung, 413, Taiwan, ³ Corresponding author, E-mail: hlwang@nknucc.nknu.edu.tw; Fax: +886-7-7169030)

Odontoglossum ringspot virus (ORSV) is a member of *Tobamovirus* genus in the family of *Tobamoviridae*. It is an important virus infecting orchid plants and occurring worldwide. The purpose of this study is to sequence the genomic regions of ORSV Taiwan strain (ORSV-TW), and to compare its nucleotide and amino acid sequences with that of four reported ORSV strains of various origins, i.e. ORSV-S1 (Singapore), ORSV-Cy1 (Japan), ORSV-Cy (Korea) and ORSV-U (America). The full length genomic RNA of ORSV-TW were 6,612 bp (accession number : AY571290) . The length of nucleotide sequences for 126/183 kDa RNA-dependent RNA polymerase (RdRp) genes were 3,336 and 4,839 bp and encoded RdRp replicase and readthrough protein, respectively. Genes of movement protein (MP) and coat protein (CP) consisted of 909 and 474 nucleotides and encoded proteins of MW of 33 and 18 kDa, respectively. The nucleotide sequences of 5' and 3' non-translated regions (NTR) were 63 and 414 bp, respectively. The results of comparison between nucleotide and amino acid sequences of ORSV-TW with that of those reported ORSV strains showed more than 96% identity and similarity indicating that they are different strains of the same virus.

Key words : *Odontoglossum ringspot virus*, open reading frame, nucleotide sequence